# 移動ロボットによる教師なし学習に基づく一般物体認識の研究

Generic Object Recognition Based on Unsupervised Learning Using Mobile Robot

2011017



研究代表者

共同研究者

秋田県立大学 システム科学技術学部

SmartDesign 株式会社

教 間 所 洋 利

代表取締役 高橋淳一

# [研究の目的]

近年,人と生活し活動する人間共生型ロボットが,身近な存在になりつつある。このようなロボットにとって,環境中に存在する多種多様な一般物体を認識することは,人間とロボットの知覚レベルでの調和において必要不可欠な機能である。一般物体認識はコンピュータビジョンの分野で活発に研究されているが,ロボットへの応用を考えた場合,教示に伴う負荷が増大する。そこで本研究では,教師なし学習に基づく一般物体認識法を提案し,視覚センサを搭載した移動ロボットによる実環境での評価を目的とする。教師なし学習により,ユーザの負荷が軽減できるとともに,ロボットとのインタラクションを通じた,人間と機械の調和の実現を目指す。

# [研究の内容,成果]

## 1. 教師なし学習に基づく物体認識法

一般物体認識において,画像の特徴表現から 識別器の構築までを,単独の理論や手法で扱う ことは困難な課題と言われている。このため本 研究では,各段階の処理に対して複数の手法を 組み合せることにより,教師なし学習に基づく 一般物体認識法を構築する。提案手法のネット ワーク構成を図1に示す。

処理手順は6段階から構成され、1) SIFT

(Scale-Invariant Feature Transform) による 特徴点の抽出と特徴量の記述, 2) OC-SVM (One Class-Support Vector Machines) によ る特徴点の選択, 3) SOM (Self-Organizing Maps) を用いた VW (Visual Words) と画像 ヒストグラムの作成, 4) ART-2 (Adaptive Resonance Theory-2) を用いたラベルの生成, 5) CPN (Counter Propagation Networks) を 用いたカテゴリマップの形成, 及び 6) U-Matrix を用いたカテゴリ境界の抽出となる。

画像の特徴表現に相当する 1) ~2) は BoF (Bag of Features) に基づいている。SIFT の 特徴点は OC-SVM により 2 分割され、物体が 含まれる注目領域が絞り込まれる。 VW の作成には、k-means ではなく SOM を用いる。 ART-2 と CPN を組み合せることにより、大

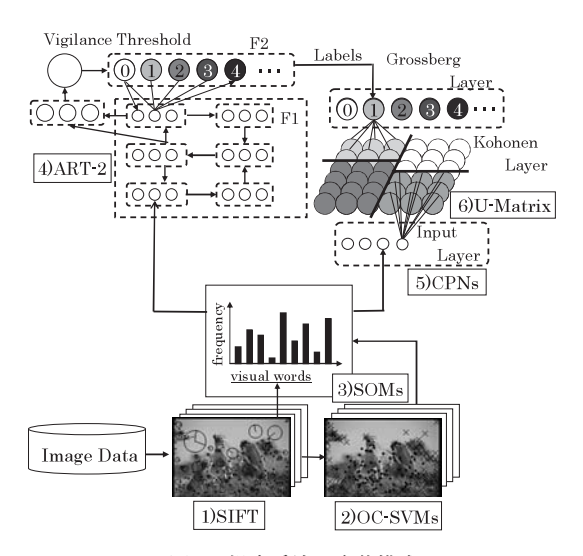


図1 提案手法の全体構成

量の画像から自動でラベルを生成するとともに、カテゴリマップを形成する。最後に、U-Matrix を用いてカテゴリマップ上から境界を抽出し、カテゴリ数を同定する。

#### 2. 標準データセットを用いた評価実験

一般物体認識においてベンチマークテスト用の標準データセットとして広く普及しているCaltech256を用いて、提案手法の基本的特性を評価した。本実験では、256種類のカテゴリから、データ数が多い上位20カテゴリを評価対象とした。各カテゴリからランダムに5枚の画像を取り出し、合計100枚の画像を用いて学習を行った。

CPN によるカテゴリマップの生成結果を図2に示す。カテゴリマップ上には、ユニットに写像された代表画像を表示している。5カテゴリにおける分類では、同一カテゴリの画像は隣接したユニットに写像された。また、独立した領域が形成された。20カテゴリにおける分類では、11カテゴリの画像が隣接したユニットに写像された。また、ART-2では複数のラベルに分割されていたカテゴリが、CPNでは隣接したユニットに統合された。

続いて、5、10、20カテゴリにおける学習とテストの認識率を図3に示す。ここでは、OC-SVMを適用した場合と未適用の場合を比較することにより、特徴点選択の有用性を検証した。OC-SVMを適用した場合は、学習データが96%、94%、81%、テストデータが76%、42%、45%となった。一方、未適用の場合は、学習データが84%、70%、64%、テストデータ

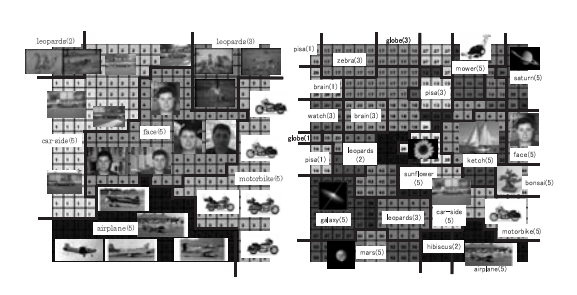


図 2 カテゴリマップ (左:5カテゴリ,右:20カテゴリ)

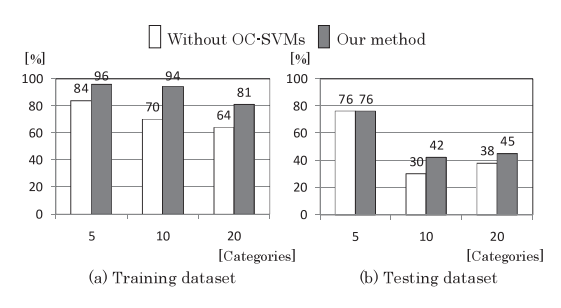


図3 認識率の比較結果

が 76%, 30%, 38% であった。以上の結果から, 学習データでは 18%, テストデータでは 6% の精度向上がみられ, OC-SVM による特徴点 選択の有用性が示された。

# 3. 移動ロボットの試作

視覚に基づく自律移動と物体認識のためのプラットフォームとして、図4に示す視覚機能を搭載した移動ロボット「MEGURI」を試作開発した。設計指針としては、人間と同じ目線で物体認識や環境理解が実現できるように、ロボットの全高を成人男性の平均身長と同程度の170 cm にした。

ロボットの上部には、ステレオ視のためのカメラ Bumblebee2 と、全方位センサ VS-C14U を搭載した。また、下部に深度センサ XTION を搭載し、超音波センサとともに障害物検知を

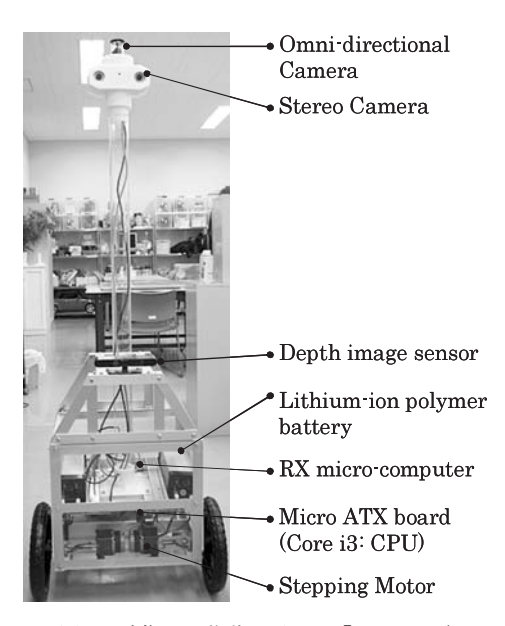


図4 試作した移動ロボット「MEGURI」

担う。駆動系は、ステッピングモータ2機による2軸独立駆動とした。また、安定性を考慮して補助輪は後部に2輪設置した。

計算機環境としては、モータの制御用に RX マイコン、画像処理用に CPU ボードを搭載した。データのストレージには、消費電力と耐振性を考慮して SSD を搭載した。電源は 20Ahのリチウムイオンポリマ電池を 2 機搭載し、約2時間の連続走行が可能となっている。ロボットの重量は約20kg、最高移動速度は4.0km/hである。

#### 4. 移動ロボットを用いた評価実験

試作したロボットを用いて一般物体認識の評価実験を実施した。実験環境は、研究代表者が所属する研究室内とした。2.5×2.5 m の格子状の区画に、4カテゴリの物体を配置し画像を取得した。認識対象とした物体は、事前にアンケートを実施し、研究室内で一般的な物体として選ばれた Chair、PC、Robot、Book の 4 物体とした。

ロボットは物体に向って移動し、画像を取得する。なお、物体の大きさを考慮して、画像を取得はロボットの本体に搭載した XTION のRGB カメラを用いた。各物体の大きさは不揃いのため、画像中の物体が小さく、あるいは大きくなり過ぎないようにロボットの行動を制御した。また、視野内の認識対象は1物体とした。ロボットは環境内を5回走行し、走行毎に同一カテゴリの異なる物体に入れ替えた。このため、各カテゴリは異なる5種類の物体から構成される。これをデータセットD1~D5として評価対象とした。取得した画像を図5に示す。

認識率の評価は、交差検定法によって全ての組み合わせに対して実施した。Caltech-256などのコンピュータビジョン分野における一般物体認識用のデータセットでは、対象物体は1画像中に1物体のみであり、画像中央に位置するように撮影されている。したがって、本実験においても画像中に認識対象となる物体全体が写

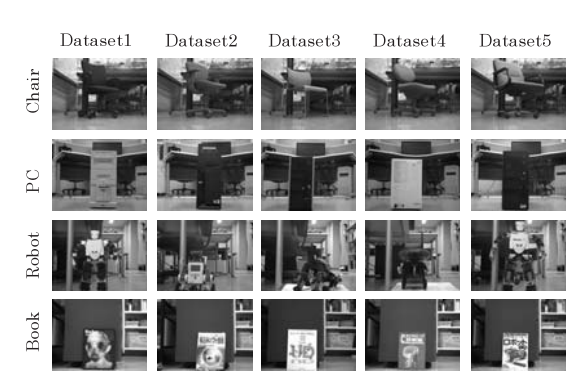


図5 ロボットから取得した画像

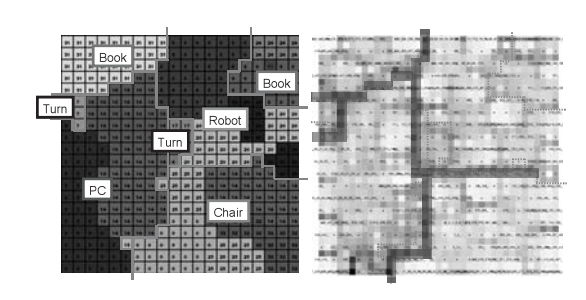


図6 カテゴリマップと U-Matrix の結果

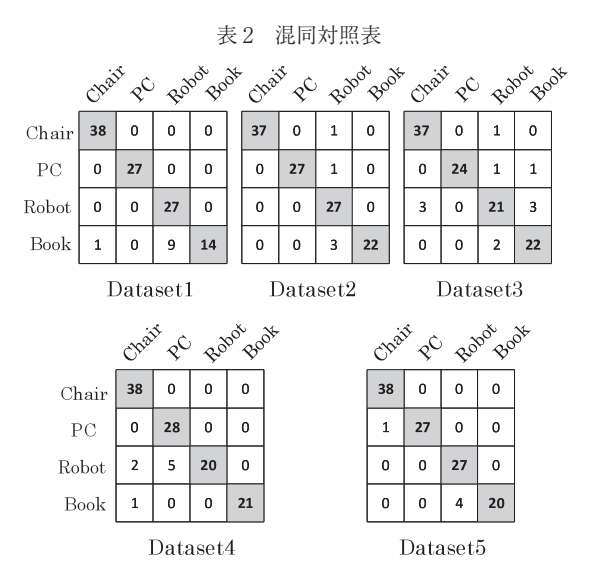
表1 認識率

Dataset	Chair	PC	Robot	Book	ALL
D1	100	100	100	58	91
D2	97	96	100	88	96
D3	97	89	78	92	90
D4	100	100	74	88	92
D5	100	96.4	100	83	96
Ave.	99	96	90	82	93

## るように制約条件を設けた。

認識率を表1に示す。なお、旋回時の画像はテスト対象から除いて認識率の算出し評価した。平均認識率は、Chair が99%、PC が96%、Robot が90%、Book が82%となった。また、データセット別では、D1 が91%、D2 が96%、D3 が90%、D4 が92%、D5 が96%であった。全テストデータの平均認識率は、93%となった。

各データセットにおける混同対照表を表 2 に示す。横方向を基準として、識別に成功した 画像枚数が対角線上に表示される。それ以外に は、誤識別となった枚数が表示される。縦方向 のカテゴリ名を参照することで、誤識別したカテゴリを特定することができる。最も低い認識率となった D1 の Book は、9 画像が Robot と



誤認識された。他のデータセットでは,D2で3画像,D3で2画像,D5で4画像がRobotと誤認識された。次に認識率の低かったD4のRobotは,2画像がChairと,5画像がPCと誤認識された。D3では,3画像がChair,3画像がBookと誤認識された。D1とD5のBookの表紙には,顔のイラストやロボットパーツのイラストが描かれていたため,Robotと誤認識されたと考えられる。

次に、見え方の変化に対するロバスト性を検証した。D5の Chair に対して向きの異なる画像を取得し、D5a及び D5b とした。両データセットの画像を図7に示す。OC-SVM により選択された特徴点は、向きが異なっても対象となる物体を中心に同心円状に分布している。背景領域は、椅子の背もたれ位置が異なるため、特徴点の分布に違いが現れた。

認識率は、D5a は 100% であったものの、D5b は 42% に低下した。D5b における誤認識は、Robot のラベルが影響を与えていると考えられる。ロボットは、D1~D4 を学習データとした場合の CPN によるカテゴリマップで、Chair と隣接したユニットに写像された。本実験では、ロボットの行動パターンが直進と 90度の右旋回に限られており、前後進以外の見え方の変化を学習していないため、認識率が低下



●:Selected points, ×:Unselected points

図7 ロバスト性検証用の画像

したと考えられる。そのため、より柔軟な物体 認識を実現するには、ロボットによる物体認識 のための多様な行動様式の生成が必要であると 考えている。

#### [今後の研究の方向性, 課題]

本研究では単一物体のみを対象としたため、 今後は複数物体認識への拡張について提案手法 の改良を進めたい。具体的には、画像中から複 数の物体を検出するために、画像の輝度勾配や 方位選択性等の特徴空間から視覚的に注意を引 く領域を表現する顕著性マップの適用を検討し ている。更に、ロボットビジョンにおけるリア ルタイム処理を実現するためのハードウェア環 境の構築し、本試作ロボットに実装するととも に、実環境での評価実験を進めたい。また、本 ロボットを情景分類にも応用したいと考えてい る。

# [成果の発表, 論文等]

- [1] H. Madokoro, M. Tsukada and K. Sato: Unsupervised Feature Selection and Category Formation for Generic Object Recognition, Proc. 14th International Conference on Computer Analysis of Images and Patterns (CAIP), pp. 427-434, Aug. 2011.
- [2] H. Madokoro, M. Tsukada, and K. Sato: Unsupervised Feature Selection and Category Formation for Mobile Robot Vision, Proc. IEEE International Joint Conference on Neural Networks (IJCNN), pp. 320–327, Jul. 2011.